

# Математическое моделирование и исследование задачи бесконтактного возбуждения магнитоупругих колебаний в тонкой пластинке

М. А. Микилян

ЕрГУ, факультет прикладной математики

Решается задача математического моделирования и исследования возможности бесконтактного возбуждения вынужденных колебаний в идеально проводящей пластинке. Задача сведена к системе сингулярных интегральных уравнений, которая решена численным методом. Показано, что при помощи постоянного магнитного поля вынужденные колебания одной пластины, на которую действует возмущающая сила, можно бесконтактно сообщить второй пластиинке, свободной от внешних механических нагрузок. Причем, соответствующим выбором параметров задача можно достичь того, чтобы в основном колебалась только вторая идеально проводящая пластиинка с регулируемой амплитудой. Аналогичная задача в случае сверхпроводящих пластин рассмотрена в работе [5].

1. Рассмотрим магнитоупругую систему, показанную на рис.1. Она состоит из двух параллельных неферромагнитных идеально проводящих диафрагм, которые находятся в постоянном магнитном поле  $\vec{H}_0$ , параллельным координатной линии  $ox_1$  (координатная система  $ox_1, ox_2, ox_3$  и основные геометрические параметры показаны на рис.1.). Части диафрагм  $|x_1| \leq a$ ,  $|x_2| < \infty$  являются упругими пластиинками, изготовленными из различных идеально проводящих изотропных, материалов (остальные части являются абсолютно жесткими инеподвижными). Электромагнитные свойства среди, окружающей диафрагмы, эквивалентны свойствам вакуума.

Пусть на верхней поверхности верхней пластиинки действует нормально приложенная нестационарная нагрузка  $P(x_1, t)$ . Границные условия на торцах  $x_1 = \pm a$  таковы, что пластиинки колеблются по форме цилиндрической поверхности с образующими, параллельными координатной линии  $ox_2$ . Рассмотрим задачу передачи вынужденных колебаний нижней пластиинке и определим условия резонанса. В дальнейшем характеристики, относящиеся к верхней пластиинке, будем обозначать индексом "1", а к нижней - индексом "2". Индексом "+" обозначим значения соответствующих величин на верхних поверхностях диафрагм  $x_3 = b + 2\delta_1$  и  $x_3 = b$ , а индексом "-" - на нижних поверхностях  $x_3 = b$  и  $x_3 = -(b + 2\delta_2)$ .

Вследствие колебаний пластиинок и присутствия внешнего магнитного поля в идеально проводящих пластиинках появляются индуцированные электрические токи, приводящие как к изменению напряженности магнитного поля во всем пространстве, так и к появлению массовых и поверхностных сил. Интенсивность указанных сил магнитного происхождения, с учетом идеальной проводимости материалов пластиинок, определяются следующими формулами [1-3]:

$$\begin{aligned}\vec{f} &= \mu_0(r\vec{H}) \times \vec{H} \quad (\text{объемные силы}), \\ \vec{P} &= [\vec{f}^{(e)} - \vec{f}] \cdot \vec{N} \quad (\text{поверхностные силы}).\end{aligned}\tag{1.1}$$

Здесь  $\mu_0$  - магнитная постоянная,  $\vec{N}$  - единичный вектор внешней нормали к деформированным поверхностям пластинок,  $\hat{T}$  - тензор напряжений Максвелла

$$\begin{aligned} T_{jk} &= \mu_0 [H_j \cdot H_k - 0.5 \vec{H}^2 \delta_{jk}], \\ T_{jk}^{(e)} &= \mu_0 [H_j^{(e)} \cdot H_k^{(e)} - 0.5 (\vec{H}^{(e)})^2 \delta_{jk}], \end{aligned} \quad (1.2)$$

$\vec{H}$  - вектор напряженности магнитного поля, который складывается из вектора напряженности заданного магнитного поля  $\vec{H}_0$  и вектора напряженности индуцированного магнитного поля  $\vec{h}$ , обусловленного колебаниями пластинок ( $\vec{H} = \vec{H}_0 + \vec{h}$ ), а индекс "e" здесь и в дальнейшем обозначает принадлежность к внешней области (пространству вне диафрагм).

Пусть для рассматриваемых пластинок справедлива гипотеза Кирхгофа о недеформируемых нормалях. По этой гипотезе из основных линеаризованных уравнений и поверхностных условий магнитоупругости неферромагнитных тел [1-3], учитывая также идеальную проводимость материалов диафрагм и (1.1), путем осреднения получается:

а) выражения для компонент индуцированного в пластинках магнитного поля:

$$h_1^{(I)} = 0, h_2^{(I)} = 0, h_3^{(I)} = H_0 \frac{\partial w_i}{\partial x_1} \quad (i=1,2) \quad (1.3)$$

б) уравнения колебаний пластинок [1]

$$D_1 \frac{\partial^4 w_i}{\partial x_1^4} + 2s_1 \delta_1 \frac{\partial^2 w_i}{\partial r^2} - 2s_1 \mu_0 H_0^2 \frac{\partial^2 w_i}{\partial x_1^2} - \delta_1 \frac{\partial}{\partial x_1} [\sigma_{13}^{(I)+} + \sigma_{13}^{(I)-}] = \sigma_{33}^{(I)+} - \sigma_{33}^{(I)-}; \quad (1.4)$$

$$D_1 = 2E_i \delta_1^3 / 3(1 - v_i^2)$$

в) условия сопряжения на поверхностях диафрагм (здесь учтено, что части  $|x_1| > a$  диафрагм являются абсолютно жесткими и неподвижными).

$$h_3^{(e)+} = \begin{cases} H_0 \frac{\partial w_1}{\partial x_1}, & \text{где } |x_1| \leq a, x_3 = b + 2\delta_1, \\ H_0 \frac{\partial w_2}{\partial x_1}, & \text{где } |x_1| \leq a, x_3 = -b, \\ 0, & \text{где } \begin{cases} |x_1| > a, x_3 = b + 2\delta_1, \\ |x_1| > a, x_3 = -b, \end{cases} \end{cases} \quad (1.5)$$

$$h_3^{(e)-} = \begin{cases} H_0 \frac{\partial w_1}{\partial x_1}, & \text{где } |x_1| \leq a, x_3 = b, \\ H_0 \frac{\partial w_2}{\partial x_1}, & \text{где } |x_1| \leq a, x_3 = -b - 2\delta_2, \\ 0, & \text{где } \begin{cases} |x_1| > a, x_3 = b, \\ |x_1| > a, x_3 = -b - 2\delta_2, \end{cases} \end{cases}$$

$$\begin{aligned}\sigma_{13}^{(1)\pm} &= 0, & \sigma_{33}^{(1)} &= -\mu_0 H_0 h_1^{(\varepsilon)\pm} + \frac{[1 \pm 1]}{2} \rho \\ \sigma_{13}^{(2)\pm} &= 0, & \sigma_{33}^{(2)} &= -\mu_0 H_0 h_1^{(\varepsilon)\pm}\end{aligned}\quad (1.6)$$

В (1.3) - (1.5), как обычно,  $w_i$  - прогиб,  $D_i$  - цилиндрическая жесткость,  $E_i$  - модуль упругости,  $\nu_i$  - коэффициент Пуассона,  $\rho_i$  - плотность материала  $i$ -той пластиинки,  $\sigma_{13}^{(i)}$  и  $\sigma_{33}^{(i)}$  - упругие напряжения.

Рассматривая систему уравнений (1.4) и (1.6) замечаем, что она не замкнута. В ней, кроме прогибов  $w_i$  пластиинок, входят также неизвестные граничные значения  $h_1^{(\varepsilon)\pm}$  индуцированного магнитного поля  $\vec{h}$  на поверхностях пластин. Мы определяем, решая уравнение Максвелла во внешней области

$$\operatorname{rot} \vec{h}^{(\varepsilon)} = 0, \quad \operatorname{div} \vec{h}^{(\varepsilon)} = 0 \quad (1.7)$$

при условиях

$$h_3 = h_3^{(\varepsilon)}$$

на поверхностях диафрагм.

Введением потенциальной функции посредством

$$\vec{h}^{(\varepsilon)} = \operatorname{grad} \phi, \quad (1.9)$$

и с учетом того, что части  $|x_1| > a$  поверхностей не деформируются, задача определения индуцированного магнитного поля  $\vec{h}^{(\varepsilon)}$ , согласно (1.5) - (1.9), сводится к решению следующих задач для уравнений Лапласа в полуплоскостях  $x_3 > b + 2\delta_1$  и  $x_3 < -b - 2\delta_2$  и в слое  $|x_3| < b$ :

в полуплоскостях  $x_3 > b + 2\delta_1$  и  $x_3 < -(b + 2\delta_2)$

$$\Delta \phi = 0$$

$$\frac{\partial \phi}{\partial x_3} \Big|_{x_3=(-1)^{i+1}(b+2\delta_i)} = \begin{cases} H_0 \frac{\partial w_i}{\partial x_1}, & \text{где } |x_1| \leq a \\ 0, & \text{где } |x_1| > a \end{cases} \quad (1.10)$$

в слое  $|x_3| < b$

$$\Delta \phi = 0$$

$$\frac{\partial \phi}{\partial x_3} = \begin{cases} H_0 \frac{\partial w_1}{\partial x_1}, & \text{где } |x_1| \leq a, x_3 = b \\ H_0 \frac{\partial w_2}{\partial x_1}, & \text{где } |x_1| \leq a, x_3 = -b \\ 0, & \text{где } |x_1| > a, x_3 = \pm b \end{cases} \quad (1.11)$$

Решения краевых задач (1.10) и (1.11) известны. Использованием этих решений из (1.9) определено индуцированное в указанных областях магнитное поле  $\vec{h}^{(\varepsilon)}$  и путем предельного перехода получены следующие представления интересующих нас величин  $h_1^{(\varepsilon)\pm}$ :

$$h_i^{(e)+} = \begin{cases} -\frac{H_0}{\pi} \int_{-a}^a \frac{\partial w_1}{\partial \xi} \frac{d\xi}{x_1 - \xi}, & \text{где } x_3 = b + 2\delta_1 \\ \frac{H_0}{4b} \int_{-a}^a \left[ K \frac{\partial w_1}{\partial \xi} - \frac{1}{K} \frac{\partial w_2}{\partial \xi} \right] d\xi, & \text{где } x_3 = -b \end{cases} \quad (1.12)$$

$$h_i^{(e)-} = \begin{cases} \frac{H_0}{4b} \int_{-a}^a \left[ \frac{1}{K} \frac{\partial w_1}{\partial \xi} - K \frac{\partial w_2}{\partial \xi} \right] d\xi, & \text{где } x_3 = b \\ \frac{H_0}{\pi} \int_{-a}^a \frac{\partial w_2}{\partial \xi} \frac{d\xi}{x_1 - \xi}, & \text{где } x_3 = -b - 2\delta_2 \end{cases}$$

где

$$K(x_1, \xi) = ih \frac{\pi(\xi - x_1)}{4b}.$$

Из (1.6) вычисляя  $\sigma_{13}^{(0)\mu}$  и  $\sigma_{33}^{(0)\mu}$ , подставляя в (1.4) и учитывая (1.12), получим следующую систему связанных сингулярных интегро-дифференциальных уравнений колебания пластинок:

$$D_i \frac{\partial^4 w_i}{\partial x_1^4} + 2p_i \delta_i \frac{\partial^2 w_i}{\partial t^2} - 2\mu_0 \delta_i H_0^2 \frac{\partial^2 w_i}{\partial x_1^2} - \frac{1}{\pi} \mu_0 H_0^2 \int_{-a}^a \left[ \frac{\pi}{4b} K \frac{\partial w_{3-i}}{\partial \xi} + \left( \frac{1}{x_1 - \xi} - \frac{\pi}{4b} K \right) \frac{\partial w_i}{\partial \xi} \right] d\xi = \frac{1 - (-1)^i}{2} P_i \quad (i=1,2) \quad (1.13)$$

К системе уравнений (1.13) в каждом конкретном случае необходимо присоединить обычные однородные условия закрепления краев  $x_1 = \pm a$  пластинок. Для определенности, в дальнейшем принимается, что края пластинок жестко заделаны, т.е.

$$w_i|_{x_1=\pm a} = 0, \quad \frac{\partial w_i}{\partial x_1}|_{x_1=\pm a} = 0 \quad (1.14)$$

Из (1.13) видно, что благодаря магнитному полю, вынужденные колебания верхней пластиинки (под действием возмущающей силы  $P$ ) передаются к нижней пластиинке, которая свободна от внешних механических нагрузок.

2. Рассмотрим вопрос сведения задачи вынужденных колебаний (1.13), (1.14) к решению системы интегральных уравнений. С этой целью предполагая, что  $P(x_1, t) = P_0 \sin \omega t$  ( $P_0 = \text{const}$ ) решения системы (1.15) представим в виде

$$w_i(x_1, t) = \bar{w}_i(x_1) \sin \omega t \quad (2.1)$$

где  $w_i(x_1)$ , согласно (1.13) и (1.14), являются решениями следующей неоднородной задачи (написанной в безразмерной форме) на отрезке  $[-1; 1]$

$$\frac{d^4 \bar{w}_i}{dx^4} - \alpha_i \frac{d^2 \bar{w}_i}{dx^2} - \beta_i \bar{w}_i - \gamma_i \int_{-1}^1 \left[ \frac{\pi}{4b} \frac{h_{3-i}}{h_i} k \frac{d\bar{w}_{3-i}}{d\xi} + \left( \frac{1}{1 - \zeta} - \frac{\pi}{4b} k \right) \frac{d\bar{w}_i}{d\xi} \right] d\xi = \frac{1 - (-1)^i}{2} P_{it} \quad (2.2)$$

$$\bar{w}_i|_{x=\pm 1} = 0, \quad \frac{d\bar{w}_i}{dx}|_{x=\pm 1} = 0 \quad (2.3)$$

Здесь

$$\begin{aligned} \alpha_i &= \frac{2\mu_0 H_0^2}{E_i} \left( \frac{\delta_i}{a} \right)^2, \quad \beta_i = \frac{2\rho_i a^2 \omega^2}{E_i} \left( \frac{\delta_i}{a} \right)^2, \quad \gamma_i = \frac{\mu_0 H_0^2}{\pi E_i} \left( \frac{\delta_i}{a} \right), \\ P_{it} &= \frac{P_0}{E_i}, \quad \bar{E}_i = \frac{D_i \delta_i}{a^4}, \quad K(x, \zeta) = \operatorname{th} \frac{\pi(\zeta - x)}{4b}, \\ \bar{w}_i &= \frac{w_i}{h}, \quad x = \frac{x_1}{a}, \quad \zeta = \frac{\xi}{a}, \quad b = \frac{b}{a}. \end{aligned} \quad (2.4)$$

Приходим к выводе системы интегральных уравнений, обозначая  $U_i(x) = \frac{d^4 w_i}{dx^4}$ . Тогда для функций  $\bar{w}_i$  и их производных получим следующие представления:

$$\begin{aligned} \frac{d^3 \bar{w}_i}{dx^3} &= \int_{-1}^x U_i(t) dt + C_1^{(i)}, \\ \frac{d^2 \bar{w}_i}{dx^2} &= \int_{-1}^x (x-t) U_i(t) dt + C_1^{(i)} x + C_2^{(i)}, \\ \frac{d \bar{w}_i}{dx} &= \frac{1}{2} \int_{-1}^x (x-t)^2 U_i(t) dt + C_1^{(i)} \frac{x^2}{2} + C_2^{(i)} x + C_3^{(i)}, \\ \bar{w}_i &= \frac{1}{6} \int_{-1}^x (x-t)^3 U_i(t) dt + C_1^{(i)} \frac{x^3}{6} + C_2^{(i)} \frac{x^2}{2} + C_3^{(i)} x + C_4^{(i)} \end{aligned} \quad (2.5)$$

Удовлетворяя граничным условиям (2.3) определяем постоянные  $C_k^{(i)}$

$$\begin{aligned} C_1^{(i)} &= -\frac{1}{4} \int_{-1}^1 (1-t)^2 (2+t) U_i(t) dt, \quad C_2^{(i)} = -\frac{1}{4} \int_{-1}^1 (1-t)^2 U_i(t) dt, \\ C_3^{(i)} &= -\frac{1}{8} \int_{-1}^1 (1-t)^2 t U_i(t) dt, \quad C_4^{(i)} = -\frac{1}{24} \int_{-1}^1 (1-t)^2 (2t+1) U_i(t) dt \end{aligned} \quad (2.6)$$

Подставляя (2.5) и (2.6) в (2.2) для определения  $u_i(x)$  получим следующую систему интегральных уравнений:

$$u_i = \int_{-1}^1 [\alpha_i E_1(x, t) + \beta_i(x, t)] u_i(t) dt + \gamma_i \int_{-1}^1 \left[ \frac{\pi}{4b} \frac{h_{3-i}}{h_i} K(x, \zeta) \int_{-1}^1 E_2(\zeta, t) u_{3-i}(t) dt + \right. \\ \left. + \left( \frac{1}{x-\xi} - \frac{\pi}{4b} \frac{1}{K(x, \zeta)} \right) \int_{-1}^1 E_1(\zeta, t) u_i(t) dt \right] d\zeta + \frac{1-(-1)^i}{2} P_{it} \quad (2.7)$$

где

$$\begin{aligned} E_1(x, t) &= \chi_1(x, t) - \frac{1}{4} (1-t)^2 [x(2+t) + 1], \\ E_2(x, t) &= \chi_2(x, t) - \frac{1}{8} (1-t)^2 [x^2(2+t) + 2x - 1], \\ E_3(x, t) &= \chi_3(x, t) - \frac{1}{24} (1-t)^2 [x^3(2+t) + 3x(x-t) - 2t - 1], \\ \chi_j(x, t) &= \begin{cases} (x-t)^j, & \text{где } x < t \\ 0, & \text{где } x \geq t \end{cases} \quad (j=1,2,3) \end{aligned} \quad (2.8)$$

Таким образом, рассматриваемая задача вынужденных магнитоупругих колебаний сведена к решению неоднородной системы сингулярных интегральных уравнений (2.7).

3. Предварительно рассмотрим случай одной пластинки. В этом случае уравнение и соответствующие граничные условия описывающие вынужденные колебания легко

получить из (1.13) и (1.14) путем предельного перехода ( $b \rightarrow \infty$ ). В результате имеем

$$D \frac{\partial^4 w}{\partial x_1^4} + 2\rho h \frac{\partial^2 w}{\partial t^2} - 2\mu_0 h H_0^2 \frac{\partial^2 w}{\partial x_1^2} - \frac{2\mu_0 H_0^2}{\pi} \int_a^t \frac{\partial w}{\partial \xi} \frac{d\xi}{x_1 - \xi} = P \quad (3.1)$$

$$w = 0, \quad \frac{\partial w}{\partial x} = 0 \quad \text{при } x_1 = \pm a$$

Аналогичным образом, как в предыдущем пункте, краевая задача (3.1) сводится к решению следующего интегрального уравнения:

$$v(x) - \int_{-1}^1 [K_1(x, t) \ln|x - t| + K_2(x, t)] v(t) dt = 1 \quad (3.2)$$

Здесь

$$K_1(x, t) = \frac{1}{2} \gamma (t - x)^2,$$

$$K_2(x, t) = \alpha E_1(x, t) + \beta E_3(x, t) - \gamma E_4(x, t),$$

$$E_4(x, t) = \frac{(x-1)(x-2t+1)}{2} \ln|x-1| + \frac{(x-1)^2 - (x-t)^2}{4} - (x-t)(t-1) -$$

$$-\frac{1}{4}(1-t)^2 \left[ \frac{(x^2-1)(2+t)+2(x-1)}{2} \ln|x-1| - \right.$$

$$\left. - \frac{(x^2-1)(2+t)-2(x+1)}{2} \ln|x+1| + x(2+t) + 2 \right],$$

$$\alpha = \frac{2\mu_0 H_0^2}{E} \left( \frac{h}{a} \right)^2, \quad \beta = \left( \frac{3\pi}{4} \right)^4 \frac{\omega^2}{\omega_0^2}, \quad \gamma = \frac{\mu_0 H_0^2}{\pi E} \left( \frac{h}{a} \right),$$

$$\omega_0 = \frac{1}{2} \left( \frac{3\pi}{2a} \right)^2 \sqrt{\frac{E\delta^3}{12\rho(1-v^2)}}, \quad v(x) = \frac{1}{P_0} \frac{d^4 w}{dx^4},$$

где  $\omega_0$  - частота собственных колебаний рассматриваемой пластинки в отсутствие магнитного поля.

Уравнение (3.2) будем решать методом, изложенным в [4]. Суть этого метода состоит в том, что при сведении интегрального уравнения (3.2) к системе линейных алгебраических уравнений для члена с логарифмической особенностью около диагонали  $x = t$  принимается квадратурная формула с коэффициентами:

$$\tilde{A}_{l-1} = h \left( \ln h - \frac{1}{3} \right) / 3, \quad \tilde{A}_l = 4h \left( \ln h - \frac{4}{3} \right) / 3, \quad \tilde{A}_{l+1} = \tilde{A}_{l-1} \quad (3.4)$$

а для  $K_2(x, t)$  и для всех величин вдали от диагонали принимается любая квадратурная формула, например формула Симпсона. В результате, решение уравнения (3.2) сводится к решению следующей системы линейных алгебраических уравнений:

$$v(x_l) - \sum_{n=0}^{M-1} A_n [K_1(x_l, x_n) \ln|x_l - x_n| + K_2(x_l, x_n)] v(x_n) - \\ - \sum_{n=l-1}^{l+1} [\tilde{A}_n K_1(x_l, x_n) + A_n K_2(x_l, x_n)] v(x_n) = 1 \quad (3.4)$$

где  $A_n$  - коэффициенты Симпсона,  $x_i$  ( $i = 0, \dots, M$ ) - точки Гауссовой сети с шагом  $h$ , а штрих у знака суммы означает, что пропускаются сложители с индексами  $|l-1, l|$  и  $|l+1|$ .

На основе (3.5) и последнего уравнения из (2.5) произведены вычисления значений амплитуды  $w/P_0$  вынужденных колебаний в различных точках срединной плоскости пластины при различных значениях  $B_O$  ( $B_0 = \mu_0 H_0$  - величина индукции

внешнего магнитного поля). Для расчета принято  $E = 7.3 \cdot 10^10 \text{ н/м}^2$ ,  $v = 0.34$

(люралюминиевая пластинка),  $\delta/a = 0.01$ ;  $\omega^2/\omega_0^2 = 0.5$ . Результаты вычислений приведены в Табл.1. (первые строки). Рассмотрено также численное решение задачи собственных магнитоупругих колебаний (при тех же числовых данных, что и выше). В этом случае  $P=0$  и система (3.5) является однородным. Из условия существования нетривиального решения этой системы для первой частоты  $\omega_1$  магнитоупругих колебаний при  $B_0 = 1$  тесла получено следующее числовое значение

$$\frac{\omega}{\omega_0} = 1.271$$

С полученным результатом рассматриваемая задача решена также методом Галеркина, представляя решение задачи (3.1) в виде

$$w = w_0 (a^2 - x_1^2)^2 \sin \omega x_1. \quad (3.6)$$

Подставляя (3.6) в (3.1) и ортогонализируя для определения  $w_0$  получим формулу

$$w_0 = \frac{\frac{112}{27\pi^4} P_0}{\frac{14}{9\pi^4} \left( 64 + \frac{128}{21} \alpha + \frac{28}{9} \gamma \right) - \frac{\omega^2}{\omega_0^2}}. \quad (3.7)$$

На основе (3.7) при тех же исходных данных вычислены значения амплитуды  $w/P_0$  в выбранных выше точках пластинки. Результаты вычислений приведены также в Табл.1. (вторые строки).

Таблица 1.

$X \backslash B_0$	0.5	1.0	1.5	2.0
0	<u>0,049300</u> 0,052697	<u>0,040948</u> 0,042767	<u>0,029761</u> 0,032545	<u>0,022811</u> 0,024385
$\frac{2}{5}$	<u>0,034786</u> 0,037183	<u>0,028659</u> 0,030176	<u>0,020604</u> 0,022964	<u>0,016146</u> 0,017206

При  $P=0$  из (3.7) легко получить следующую формулу для определения первой частоты собственных магнитоупругих колебаний

$$\frac{\omega^2}{\omega_0^2} = 1,022 + 0,097\alpha + 0,447\gamma \quad (3.8)$$

Используя выбранные выше исходные данные ( $E = 7.3 \cdot 10^10 \text{ н/м}^2$ ,  $v = 0.34$ ,  $\delta/a = 0.01$ ;  $B_0 = 1$  тесла) из (3.8) для  $\omega_1$  получим:

$$\frac{\omega_1}{\omega_0} = 1,279$$

Сравнивая значения амплитуды вынужденных колебаний (Табл.1.), а также значения первой частоты собственных магнитоупругих колебаний полученные на основе численного метода и метода Галеркина легко заметить, что 1) метод Галеркина дает завышенные значения для указанных величин и 2) расхождение результатов не превышает 5 %, гарантирующее применимость метода Галеркина при решении рассматриваемых типов задач магнитоупругих колебаний тонких пластин.

4. Используя рассуждения предыдущего пункта, задачу (1.13), (1.14) будем

решать методом Галеркина, представляя  $w_1$  в виде

$$w_1(x_1, t) = w_{01} \left( a^2 - x_1^2 \right)^2 \sin \omega t \quad (4.1)$$

Подставляя (4.1) в (1.13) и ортогонализируя, после ряда преобразований приходим к следующей системе неоднородных алгебраических уравнений относительно  $w_{01}$  и  $w_{02}$ :

$$\begin{cases} (\omega_{01}^2 - \omega^2)w_{01} + m_1 w_{02} = g_1 \\ (\omega_{02}^2 - \omega^2)w_{02} + m_2 w_{01} = 0 \end{cases} \quad (4.2)$$

где

$$\omega_{01}^2 = \frac{63}{2} \frac{\bar{E}_t}{2\rho_1 \delta_1^2} + \frac{\mu_0 H_0^2}{2\rho_1 \delta_1^2} \frac{315}{256a} \left[ \frac{512}{105} \frac{\delta_1}{a} - \left( B - \frac{c}{4b} \right) \right],$$

$$m_1 = \frac{1}{4b} \frac{\mu_0 H_0^2}{2\rho_1 \delta_1^2} \frac{315}{256a} A,$$

$$g_1 = \frac{21}{16a^4} \frac{P_0}{2\rho_1 \delta_1}, \quad (4.3)$$

$$B = \int_{-1}^1 \int \frac{1}{x-\zeta} (\zeta^3 - \zeta) (1-x^2)^2 d\zeta dx,$$

$$A = \int_{-1}^1 \int \operatorname{th} \frac{\pi(\zeta-x)}{4b} (\zeta^3 - \zeta) (1-x^2)^2 d\zeta dx,$$

$$c = \int_{-1}^1 \int \operatorname{cth} \frac{\pi(\zeta-x)}{4b} (\zeta^3 - \zeta) (1-x^2)^2 d\zeta dx$$

Решив систему (4.2) относительно  $w_{01}$  и  $w_{02}$  получим:

$$\begin{aligned} w_{01} &= \frac{g_1 (\omega_{02}^2 - \omega^2)}{(\omega_{01}^2 - \omega^2)(\omega_{02}^2 - \omega^2) - m_1 m_2}, \\ w_{02} &= \frac{g_1 m_2}{(\omega_{01}^2 - \omega^2)(\omega_{02}^2 - \omega^2) - m_1 m_2} \end{aligned} \quad (4.4)$$

Для простоты рассмотрим случай пластин с одинаковыми физическими и геометрическими параметрами ( $E_1 = E_2 = E$ ,  $\nu_1 = \nu_2 = \nu$ ,  $\delta_1 = \delta_2 = h$ ,  $\rho_1 = \rho_2 = \rho$ ), при  $P_0 = \text{const}$ . Тогда из (4.4) найдем

$$w_{01} = \frac{(\omega_{02}^2 - \omega^2)g_1}{(\omega_1^2 - \omega^2)(\omega_2^2 - \omega^2)}, \quad w_{02} = \frac{g_1 m}{(\omega_1^2 - \omega^2)(\omega_2^2 - \omega^2)} \quad (4.5)$$

где

$$\omega_0^2 = \frac{63}{2} \frac{\bar{E}}{2\rho h^2} + \frac{\mu_0 H_0^2}{2\rho h} \frac{315}{256a} \left[ \frac{512}{105} \frac{h}{a} - \left( B - \frac{c}{4b} \right) \right],$$

$$\omega_1^2 = \omega_0^2 + (-1)^t \frac{\mu_0 H_0^2}{2\rho h} \frac{315}{256a} \frac{1}{4b} A.$$

Зависимость  $w_1$  и  $w_2$  от частоты возмущающей силы (формула (4.5)) показана на фигуре 2 и полностью аналогична случаю магнитоупругой системы из сверхпроводящих пластин [5]. Из этой фигуры видно, что с возрастанием  $\omega$  обе амплитуды монотонно увеличиваются и стремятся к бесконечности, когда приближается к первой собственной частоте (наступление первого резонанса). В этой области обе амплитуды положительны, т.е. обе пластины колеблются в фазе с возмущающей силой. Когда  $\omega_1 < \omega < \omega_0$

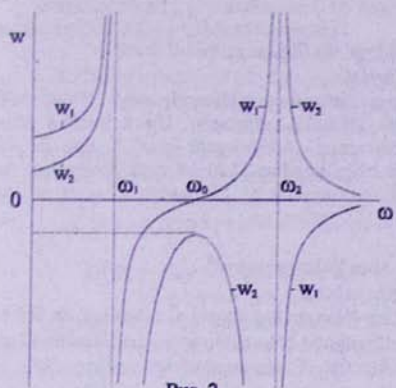


Рис. 2

амплитуды  $w_1$  и  $w_2$  имеют отрицательные значения, т.е. обе пластины колеблются со сдвигом  $180^\circ$  относительно возмущающей силы, но еще находятся в одной фазе друг с другом. В интервале  $\omega_0 \leq \omega < \omega_1$  амплитуда  $w_1$  вновь становится положительной (переходя через нуль при  $\omega = \omega_0$ ), тогда как  $w_2$  остается отрицательной. Это значит, что в рассматриваемом интервале колебания обеих пластин сдвинуты по фазе  $180^\circ$ , причем колебание верхней пластины находится в одной фазе с возмущающей силой. Наконец, когда приближается ко второй собственной частоте  $\omega_2$ , обе

амплитуды неограниченно возрастают и наступают условия второго резонанса. После этого пластины продолжают колебаться в различных фазах, но с убывающими амплитудами, и когда очень велика, колебания обеих пластин почти исчезают. Определенное практическое значение имеет  $w_1=0$  при  $\omega=\omega_0$ . Это означает, что возмущающая сила, действуя на верхнюю пластину, вызывает колебания только нижней пластины.

Таким образом, при помощи магнитного поля колебания (в том числе и резонансные) одной пластины (на которой действует вынуждающая сила) бесконтактно передаются ко второй пластинке. Причем, соответствующим выбором параметров задачи можно достичь того, чтобы в основном колебалась только вторая (свободная от механических нагрузок) пластина с регулируемой амплитудой.

## Литература

1. Амбарцумян С.А., Багдасарян Г.Е., Белубекян М.В. Магнитоупругость тонких оболочек и пластин, М., Наука, 1977г., 272 стр.
2. Kaliski S. Magnetoelastic vibration of perfectly conducting plates and bars assuming the principle of plane sections.- Proc. Vibr., Probl, 1962, 3, N4, p.225-234.
3. Багдасарян Г.Е. Уравнения магнитоупругих колебаний тонких идеально проводящих пластин, Киев, Прикладная Механика, 1983, т.XIX, N12, стр. 87-91.
4. Васильев Е.Н. Возбуждение тел вращения, М., Радио и связь, 1987, 272 стр.
5. Багдасарян Г.Е. Бесконтактный способ возбуждения резонансных колебаний в сверхпроводящей пластинке, Изв. АН Арм ССР "Механика", 1989, N6, стр. 3-9.